

粉粒體 混合流動層에 依한 鐵鑛石의 還元

林 鑄 男* · 柳 廉 玉*

Reduction of Iron Ore by the Fluidized-Mixed Bed

Chin-Nam Rhim · Kyong-Ok Yoo

Dept. of Chem. Eng., Hanyang University

Abstract

The mechanism of the iron ore with the anthracite in the fluidized-mixed bed was studied. The experimental data were compared with the theroretical equation based on the steps, such as the diffusion through the gaseous film around the ore particles, the intraparticle diffusion, and the surface chemical reaction.

The reaction of reduction with the solid carbon and the carbon monoxide were simultaneously occurred in the fluidized-mixed bed and the latter was predominated. The experimental results of the direct reduction are in good agreement with the McKewan's equation which was deduced from the results of reducing iron ore in hydrogen stream.

The cohesion phenomenon which frequently obstructed the industrial manufacturing process of the sponge iron could be interpreted from the effect of the exisence of the ferrous oxide; however, this phenomenon could be prevented by applying the fluidized-mixed bed which was diluted with the packing materials, such as fire-brick and sand.

1. 緒 論

일반적으로 流動層을 利用해서 鐵鑛石을 還元하는 경 우 鑛石과 환원제 사이에 接觸效率이 좋아져서 還元速度가 빨라지며, 多段操作으로 환원제의 利用度를 높일 수 있으며 建設費가 싸다는 等의 長點이 있는 반면 염 가의 환원제를 얻기 힘들며, 溫度調節이 비교적 어렵고, 粘着 같은 현상으로 流動化를 방해하며, 또한 비교적 적은 고장으로 全 process를 중지시키는 등의 결점이 있다.

이에 本研究에서는 流動層의 모든 長點을 살리고 短

點을 除去하기에 적합한 장치로 粉粒體混合流動層¹⁾을 써서 鐵鑛石을 환원시켰다.

粉粒體混合流動層이라 함은 固定充填된 粒子層 사이에서 粉體가 流動화하는 反應器로서, 粒子로는 鐵鑛石과 耐火벽돌을 충전시키고, 환원제로서는 國內에서 多量 產出되는 無煙炭을 使用하였다.

지금까지 해 온 鐵鑛石還元研究로는 Baukloh²⁾ 等의 真空中에서의 直接還元 및 Meyer 等³⁾의 N₂氣流中の 直接還元에 關한 研究가 있고, 間接還元으로는 Kawasaki⁴⁾ 等의 CO gas에 依한 研究와 Bogdandy 等⁵⁾의 H₂에 依한 研究가 있으며, 流動層에 대해서는 Feinman⁶⁾의 H₂에 依한 研究가 있다.

그리나 反應의 律速 단계가 研究者마다 다르며 速度

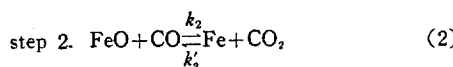
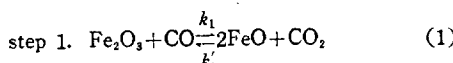
* 漢陽大學校 化工科

式도 重量감소, 체적변화, 두께변화 등 각양각색이어서 그還元기구를 알 수 없다.

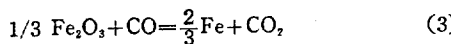
이에 CO gas에 의한 間接還元과 고체탄소에 의한 直接反應이 동시에 일어나는 粉粒體混合流動層의 환원 기구를 밝히는 동시에, 이러한 환원법의 工業的 實用性을 검토하였다. 또한 海綿鐵製造工程에서 자주 생기는 褶塊現象이 일어나는 理由와 그의 防止條件를究明하여 한다.

2. 反應速度式

一般的으로 還元反應에 영향을 미치는因子는 還元體의 氣孔率, 化學組成, 粒度 그리고 還元劑의 종류等이며, 反應器가 流動層일 경우에는 流動化 gas의 通氣速度, 化學組成 및 流動層의 公격率, 裝置因子等 많은點을 고려해야 된다. 이미 報告⁷⁾한 바와 같이 本研究에서는 一酸化炭素에 의한 鐵鑄石의 還元反應을 다음과 두 단계로 표시하였다.



이를 총괄적으로 표시하면



가 되고, 反應速度 γ 를

$$\gamma = -\frac{1}{V_r} \frac{dn}{d\theta} \text{ (mole/cm}^3 \cdot \text{min}) \quad (4)$$

로 표시할 수 있다. 한편 鐵鑄石의 還元 model로서,

i) 反應前後에 있어서 鐵鑄石의 크기는 變하지 않는다.

ii) 鐵鑄石粒子 주위에는 N₂, CO₂, CO 等의 混合gas film이 형성되어 있어서 CO gas는 이 경막을 通過하여 鑄石粒子 表面에 도달한다.

iii) 表面에서 化學反應이 일어난다.

iv) 나머지 CO gas가 還元層을 확산침투해서 内部未反應鑄과 反應한다고 가정할 때 우선 gas film內 확산速度는

$$\gamma = \frac{3(1-\epsilon)k_f}{\phi\gamma_0} (C - C_f) \quad (5)$$

粒 内의 CO gas擴散速度 γ 는

$$\gamma = \frac{3(1-\epsilon)\gamma_i D_s}{\phi\gamma_0^2(\gamma_0 - \gamma_i)} (C_f - C_0) \quad (6)$$

또한 表面化學反應速度 γ 는

$$\gamma = \frac{3(1-\epsilon)\gamma_i^2 k_c}{\phi\gamma_0^3} \left(1 + \frac{1}{k}\right) (C_0 - C^*) \quad (7)$$

이를 총괄적으로 표시하면

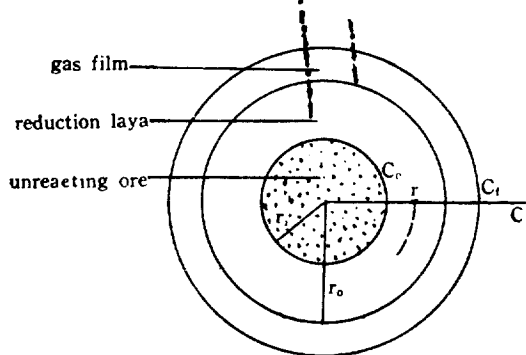


Fig. 1. Schematic Diagram of the Reacting Particle

$$\gamma = \frac{3(1-\epsilon)/\phi\gamma_0}{1/k_f + \frac{\gamma_0(\gamma_0 - \gamma_i)}{\gamma_i D_s} + \frac{\gamma_0^2}{\gamma_i^2 k_c (1+1/k)}} (C - C^*) \quad (8)$$

으로 된다.

1) 氣體境膜內 物質移動係數 k_f 計算.

文獻⁸⁾에 依하면

$$k_f = \frac{D_m}{D_p} (2.0 + 0.6 N_{Re}^{-\frac{1}{2}} N_{Sc}^{-\frac{1}{3}}) \quad (9)$$

Andrusow⁹⁾ 等에 依하면

$$D_m = 7.92 \times 10^{-4} T^{1.78} \frac{1 + \sqrt{M_1 + M_2}}{P(V_1^{\frac{1}{3}} + V_2^{\frac{1}{3}})^2 \sqrt{M_1 M_2}} \quad (10)$$

M 와 V 를 넣어 D_m 을 구하여 이를 (9)에 대입하면 k_f 는 Fig. 2 와 같이 된다.

2) 鑄石粒子內 擴散係數 D_s 計算

Moriyama¹⁰⁾에 依하면

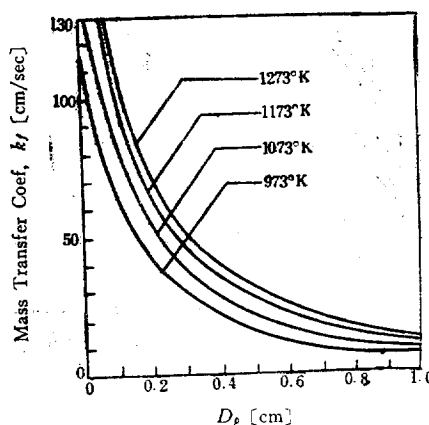


Fig. 2. Correlation between Mass Transfer Coefficient of Carbon Monoxide and Particle Diameter of Iron Ore

$$D_s = D_m \epsilon_v \xi \quad (11)$$

$$\text{단 } \epsilon_v = 0.53 + 0.47 \epsilon_p$$

$$\xi = 0.24 \epsilon_p + 0.04$$

이므로 본실험 시료의 氣孔率 $\epsilon_p = 0.35$ 를 대입하여 D_s 를 구하면 fig. 3 과 같다.

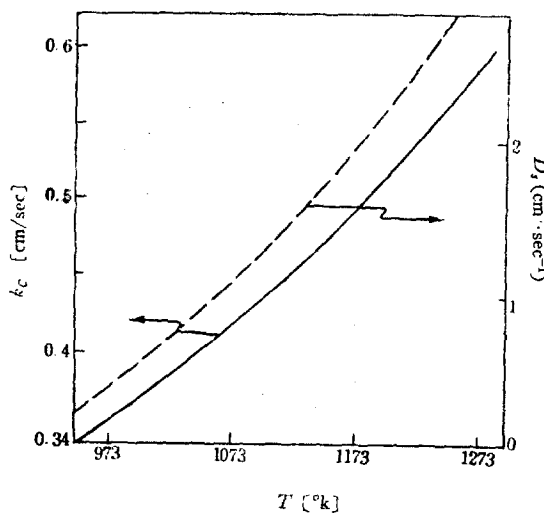


Fig. 3. D_s , k_c vs T

3) 化學反應速度定數 k_c

本研究에서 얻은 k_c 의 값을 D_s 와 함께 Fig. 3 에 plot 하였다. 그런데 本實驗에 使用한 鐵礦石粒子의 크기는 $D_p = 10\text{mm}$ 이므로 (8) 式의 총 phản應速度定數 k_T 는 $1/k_T = 1/k_f + 4\gamma/D_s + 1/k_r$.

Fig. 2, 3. 에 표시된 바와 같이 $k_f = 5 \sim 150$, $D_s = 0.3 \sim 0.6$ 인데 反하여 $k_r = 3 \times 10^{-5} \sim 4 \times 10^{-4}$ 이므로 $k_T \approx k_c$ 로 보아도 무방하므로 鐵礦石의 還元速度式은 (7) 式으로 표시된다. 그런데 粉粒體混合層은 反應層의 구조가 복잡하여 환원 gas濃度나 공격률 및 기타 장치因子等을 测定할 수 없었고 더우기 철광석粒子의 크기가 均一化 못하므로 (7) 式으로 Data를 整理할 수 없었다. 그러나 反應 전후에 있어서 鐵礦石의 구조나 반응장치因子에 구애되지 않고 試料中の 酸化鐵이나 金屬鐵의 量은 测定할 수 있으므로 鐵의 mole分率로써 還元速度式을 展開하였다.

이미 報告한¹¹⁾ 바와 같이 CO gas에 依한 鐵礦石의 還元은 逆反應이 거의 일어나지 않으므로 不可逆一次式으로 표시된다. 즉

$$x_{(s)}^{\frac{1}{2}} = k_1 x_{(s)}^{\frac{1}{2}}$$

$$x_{(s)}^{\frac{1}{2}} = \frac{k_1 x_{(s)}^{\frac{1}{2}}}{k_2 - k_1} (e^{-k_1 \theta} + e^{-k_2 \theta}) + x_{(s)}^{\frac{1}{2}} e^{-k_2 \theta}$$

$$x_{(s)}^{\frac{1}{2}} = 1 - (x_{(s)}^{\frac{1}{2}} + x_{(s)}^{\frac{1}{2}})$$

그리나 粉粒體混合層에 있어서는 Gas化反應을 위해서 吸入시킨 酸素에 依해서 酸化反應이 일어나므로 (12)식에서 反應速度式을 나타낼 수 없다. 지금 酸素의 酸化反應과 CO gas에 依한 還元反應의 正反應만을 고려하여 speed式을 세우면,

$$\left. \begin{aligned} dx_{(s)}^{\frac{1}{2}} / d\theta &= k_1 y_{CO} x_{(s)}^{\frac{1}{2}} + k'_1 y_{O_2} x_{(s)}^{\frac{1}{2}}, \\ dx_{(s)}^{\frac{1}{2}} / d\theta &= k_1 y_{CO} x_{(s)}^{\frac{1}{2}} - (k_2 y_{CO} + k'_2 y_{O_2}) x_{(s)}^{\frac{1}{2}}, \\ x_{(s)}^{\frac{1}{2}} &= 1 - (x_{(s)}^{\frac{1}{2}} + x_{(s)}^{\frac{1}{2}}) \end{aligned} \right\} \quad (13)$$

가 되며 初期條件 $\theta = 0$ 때 $x_{(s)}^{\frac{1}{2}} = x_{(s)}^{\frac{1}{2}}$, $x_{(s)}^{\frac{1}{2}} = x_{(s)}^{\frac{1}{2}}$, $x_{(s)}^{\frac{1}{2}} = x_{(s)}^{\frac{1}{2}}$ 에 依해서 (13) 式을 풀면

$$\left. \begin{aligned} x_{(s)}^{\frac{1}{2}} &= C_1 e^{D_1 \theta} + C_2 e^{D_2 \theta} + \gamma / \beta, \\ x_{(s)}^{\frac{1}{2}} &= C_1 \delta_1 e^{D_1 \theta} + C_2 \delta_2 e^{D_2 \theta} + K_1 \gamma / \beta, \\ x_{(s)}^{\frac{1}{2}} &= 1 - (x_{(s)}^{\frac{1}{2}} + x_{(s)}^{\frac{1}{2}}) \end{aligned} \right\} \quad (14)$$

$$\text{단 } C_1 = \frac{x_{(s)}^{\frac{1}{2}} + \gamma / \beta - K_1 \gamma / \beta}{\delta_1 - \delta_2},$$

$$C_2 = \frac{(x_{(s)}^{\frac{1}{2}} - \gamma / \beta) \delta_1 - x_{(s)}^{\frac{1}{2}} + K_1 \gamma / \beta}{\delta_1 - \delta_2}$$

$$D_1 = \frac{-\alpha + \sqrt{\alpha^2 - 4\beta}}{2}, \quad D_2 = \frac{-\alpha - \sqrt{\alpha^2 - 4\beta}}{2}$$

$$\alpha = (k_1 + k_2) y_{CO} + k_1 y_{O_2} / K_1,$$

$$\beta = k_1 k_2 \left(y^2 CO + \frac{y^2 O_2}{K_1 K_2} + \frac{y_{CO} y_{O_2}}{K_2} \right)$$

$$\gamma = k_1 k_2 y^2 O_2 X_O / K_1 K_2,$$

$$\delta_1 = K_1 \left(\frac{D_1}{k_1 y_{O_2}} + \frac{y_{CO}}{y_{O_2}} \right),$$

$$\delta_2 = K_1 \left(\frac{D_2}{k_2 y_{O_2}} + \frac{y_{CO}}{y_{O_2}} \right)$$

$$\lambda_1 = 1 + K_1 y_{O_2} / y_{CO} + K_1 D_1 / k_1 y_{O_2},$$

$$\lambda_2 = 1 + K_1 y_{O_2} / y_{CO} + K_1 D_2 / k_2 y_{O_2}.$$

3. 實驗裝置 및 實驗方法

實驗裝置는 第 2 報¹¹⁾에서 설명하였으므로 생략하고, Fig. 4에 粉粒體混合層(反應層)의 細部圖를 표시하였다. 즉 氣體分散板인 sand 層으로부터 길이 8cm는 耐火벽을 펼쳐서 無煙炭의 燃燒層을 만들고 이 위에 鐵礦石粒子와 耐火벽들을 순차적으로 쌓아올려 還元帶를 만들었다.

1) 實驗條件

試料 : 金谷產 Hematite로 代表徑 1cm 와 50~80 mesh, 80~100 mesh의 3種이며 化學組成은 第一報¹²⁾에 發表되었다.

還元劑 또는 燃燒劑 : 40~60 mesh의 無煙炭을 150°C에서 3時間씩 燃燒시킨 다음 窒素氣流中에서 再次 分級하고 Carbon hopper에 넣어 空氣와 차단시킨다.

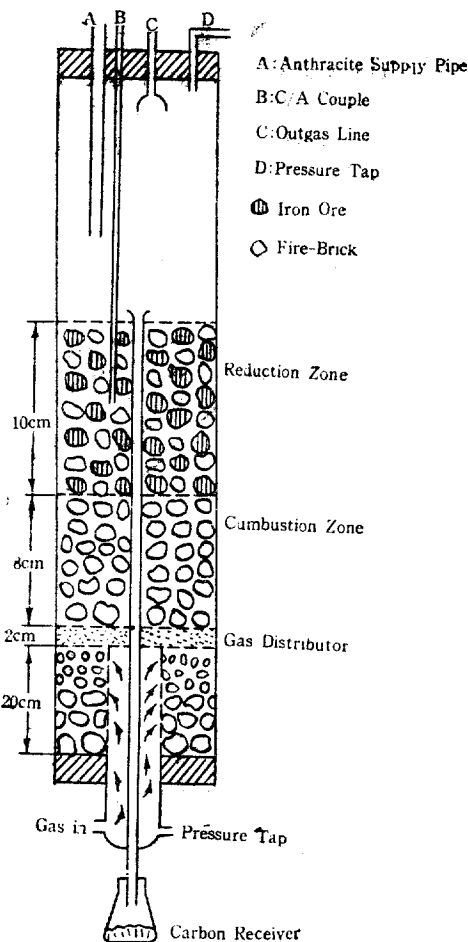


Fig. 4. Schematic Diagram of Reactor

流動化 Gas : N_2 와 O_2 , 還元 Gas : CO gas

反應溫度 : 700~1000°C

流速 : $U_0/U_{mf}=1$. (40~60 mesh 無煙炭의 $U_{mf}=1.75$ cm/sec)

空塔實驗 : 예열期間中 鐵鑽石의組成變化 여부를 보기 위하여 N_2 氣流中에서各實驗溫度까지 加熱하여組成을分析한結果源鑽成分과별差가없었다. 한편實驗 Data는 第1報와 같은方法으로整理되었다.

ii) 固定層에서의間接還元實驗

Fig. 4에 표시된 바와같이 관경 2.5cm ϕ 의反應器이代表徑 1cm ϕ 의鐵鑽石粒子와같은크기의耐火磚들片面를充填시키고 N_2 gas로서反應器內의酸素를추출한다음계속 N_2 를넣어주면서所定의溫度까지加熱한다. 所定온도에도달하던 $U_0=1.75$ cm/sec로還元gas인 CO를공급하면서反應시킨다.

iii) 無煙炭에依한直接還元實驗

Fig. 4에 표시된 것과같은 관경 5.5cm ϕ 의反應器

에 N_2 를넣어出口 gas 中酸素가存在하지않음이확인되면 N_2 를계속넣어주면서實驗溫度보다約150°C 이상加熱한다음carbon hopper를열어無煙炭을넣어주면서實驗을行한다.

iv) 粉粒體混合層에 대한實驗

역시 Fig. 4에 표시한 5.5cm ϕ 反應器를 400°C 정도로예열한다음 N_2 를吸入시키면서所定溫度보다 150°C以上 도달할 때 연소환원체인無煙炭을充填시키고流動화가원만히일어나는가를Check한다음組成 $N_2 : O_2=1:10$ 인混合gas를 $U_0/U_{mf}=1$ 로공급하면서反應시킨다. 즉 들어가는酸素와무연탄이反應해서발생된COgas가酸化鐵을활원시키고나머지炭素와酸化鐵과直接反應을하게된다. 일정시간마다出口gas를分析하여組成을Check한다.

위의各實驗이끝나면 N_2 gas를불어넣어外部로부터들어오는酸素를막고反應層에남아있는COgas 또는 고체탄소와의反應을억제하면서常溫까지냉각시킨다.試料는定量分析法에依해에 Fe_2O_3 , FeO 中の철의量과金屬鐵의量을구하여이로부터mole fraction을計算한다. 分析法은JIS規格(인산法)을택하였다.

4. 實驗結果

1) 間接還元結果

一酸化炭素分壓에對한還元速度의영향을第一報에報告되었는데 $Peo=0.5\text{ atm}$ 以上이면還元이잘일어나므로本實驗에서는組成比가 $N_2 : O_2=1:1$ 인還元gas를 $U_0=1.75\text{ cm/sec}$ (60~80 mesh 무연탄의 U_{mf} 에 해당하는量)로吸入시키면서實驗한結果를Fig. 5, 6.에Plot했다.反應溫度가900°C以上인Fig. 5를보면粒徑이50~80, 80~100mesh인流動層의結果¹²⁾나50~100mesh의回分反應器結果¹³⁾와비슷하나850°C以下에서는全然다르다. 즉900°C以下의溫度에서는金屬鐵의生成量이적은대신 FeO 가反應時間에따라增加된다. 이를化學反應式으로說明하면Step 1反應($Fe_2O_3 + CO \rightarrow FeO + CO_2$)은잘진행되나Step 2反應($FeO + CO \rightarrow Fe + CO_2$)은거의일어나지않는다는것을알수있다.

이러한現象은流動層反應時900°C以下에일어난團塊中の大部分이 FeO 인點과같은현상이다. 그러나이固定層間接還元反應에서는團塊는일어나지않았다.

한편Fig. 7에는 Fe_2O_3 의mole fraction $x_{Fe_2O_3}$ 를反應時間에對해서plot했는데片對數方眼紙에서直線關係

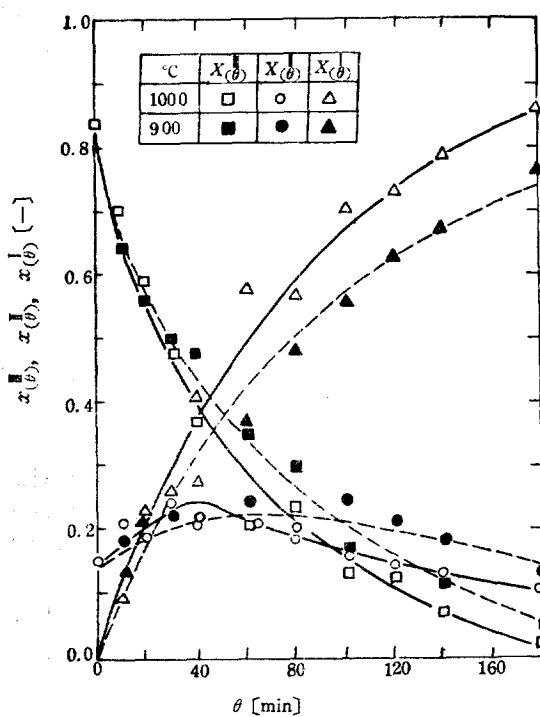


Fig. 5. Mole Fraction vs. Reaction Time for the Indirect Reduction

係를 나타내어 step 1 反應의 正反應速度를 구할 수 있었다. 이러한 사실은 CO gas에 依한 鐵礦石의 還元은 表面化學反應에 依해서 不可逆一次反應으로 進行된다는 本研究의 還元 model이 정당하다는 것을 立證하는 사실이 된다.

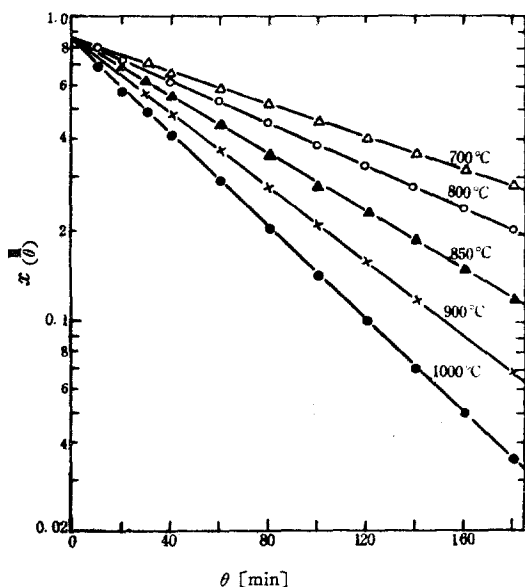


Fig. 7. $\ln x_{(g)}^II$ vs. θ for the Indirect Reduction

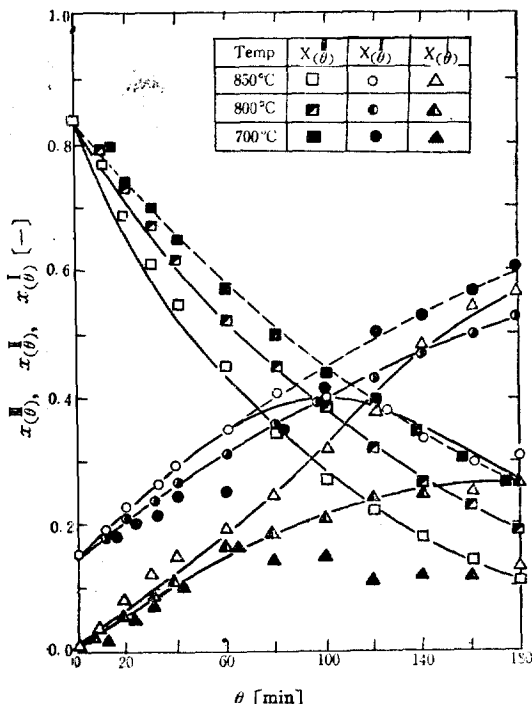


Fig. 6. Mole Fraction vs. θ for the Indirect Reduction

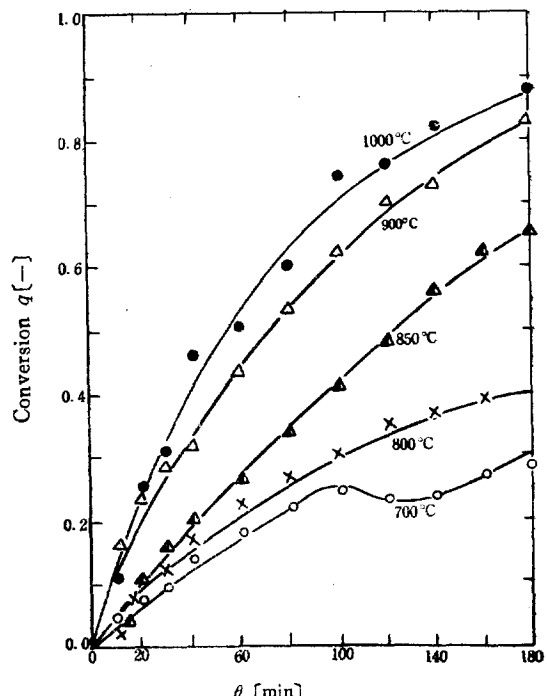


Fig. 8. Correlation Data between the Conversion and the Reaction Time for the Indirect Reduction

Fig. 7에서 얻은 速度定數 k_1 을 (12)식의 $x_{(t)}$ 에 대입하여 trial and error method로 구한 k_2 를 Table 1과 Fig. 13에 표시했는데, 이들의相互關係는 다른 反應層에 對한 것과 함께 고찰해서 종합적으로 검토한다. 또한 Fig. 8에는 鐵鑛石의 轉化率을 反應時間에 대해서 plot 한結果인데 曲線으로 나타나 있다.

2) 直接還元

Fig. 9에 結果를 plot 하였다. 그림에서 알 수 있는 바와 같이 直接還元은 間接還元과 양상이 다르다. 즉 900°C, 100°C의 結果를 볼 때 $\theta=80$ 分까지 金屬鐵은 생성되지 않고 Fe_2O_3 의 減少率이나 FeO 의 增加率이 그리 크지 못하나 反應時間에 對해서 直線關係를 갖는다.

그러나 80分以上에서는 酸化鐵의 減少率이 크며 이에 따라 金屬鐵의 生成율이 급격히 增加한다. 그原因是 固相反應이 進行될에 따라 發生되는 一酸化炭素가 다시 酸化鐵還元에 參여하여 CO_2 가 生성되고, 이 CO_2 가 carbon solution에 依해서 CO 를 發生하여 連續的으로 반응에 關與하기 때문이다. 이러한 현상은 固相反應에 있어서 반응이 어느 정도 進行되면 氣相反應이 全反應을支配하게 된다는 것을 말한다. 한편 800°C에서는 全反應을 通하여 金屬鐵은 생성되지 않고 step 1反應($Fe_2O_3 \rightarrow FeO$)만이 일어난다. Gas分析結果를 볼

때 金屬鐵이 生성되는 과정에서는 약간의 CO_2 gas와 CO gas가 發生되나, 800°C인 경우는 全反應과정에서 CO 나 CO_2 는 Gas chro로 check 할 수 없었다. 이와 같이 直接還元時에 金屬鐵이 生성하는 것은 反應中 發生하는 CO gas에 依한 것인 드로 Fig. 9에 plot 한 900, 1000°C의 $\theta=80$ 分以上的 結果는 氣相反應과 固相反應이 混合된 結果로 볼 수 있다. 그리고 固相反應에서 發生되는 CO gas를 다시 酸化鐵과 反應하기 前에 除去할 수 있는 理想의 反應器가 있다면 900°C以上에서도 金屬鐵은 生성되지 않을 것이다. 酸化鐵과 金屬鐵의 增減量은 反應時間과 直線關係를 이룰 것이다. 즉 800°C의 結果는 純固相反應에 대한 結果로 이상의 檢討는 고찰에서 하겠다.

3) 粉粒體混合流動層의 結果

結果를 Fig. 10, 11에 plot 했으며 이로부터 計算된 轉化率의 時間의變化를 Fig. 12에 나타냈다. Fig. 10에 나타난一般的인 경향은 還元反應物中の 酸化鐵이나 金屬鐵의 增減率이 CO gas를 還元劑로 吸入시킨 固定層間接還元 結果보다 빠른 點으로 보아 無煙炭을 환원제로 사용한 粉粒體混合流動層에 依한 鐵鑛石還元法의 工業的實用性이 좋음을 알 수 있다.

한편 fig. 11에 나타낸 900°C以下에서는 金屬鐵의 生성률이 낮은 反面 FeO 가 40%以上을 차지하여 粘着

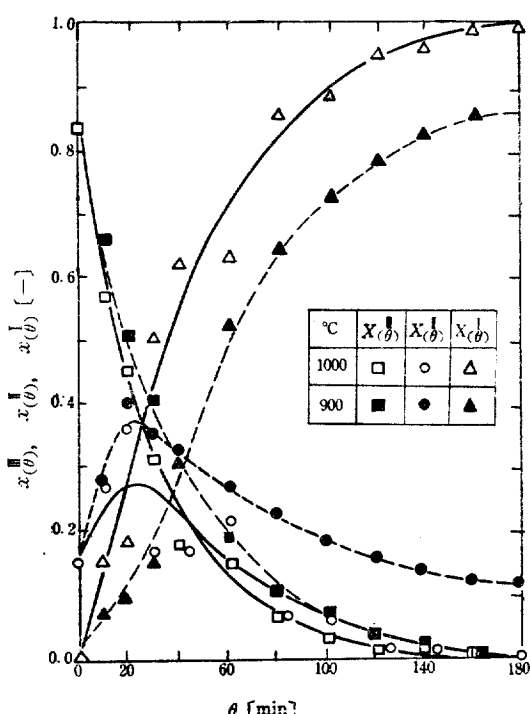


Fig. 9. Mole Fraction vs. θ for the Direct Reduction

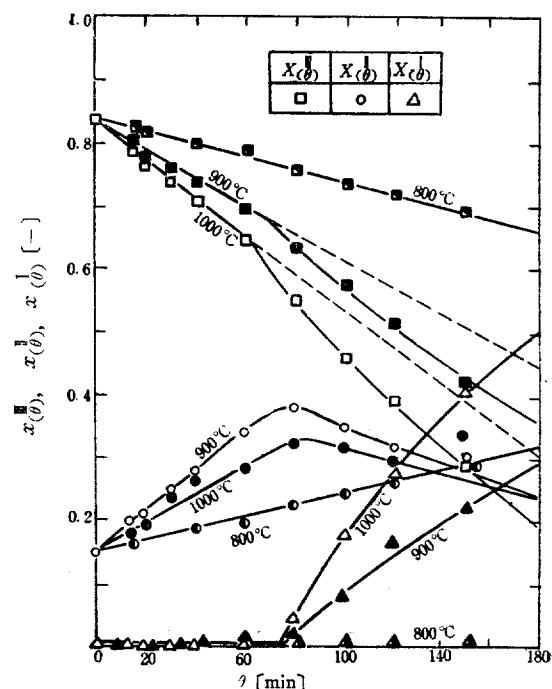
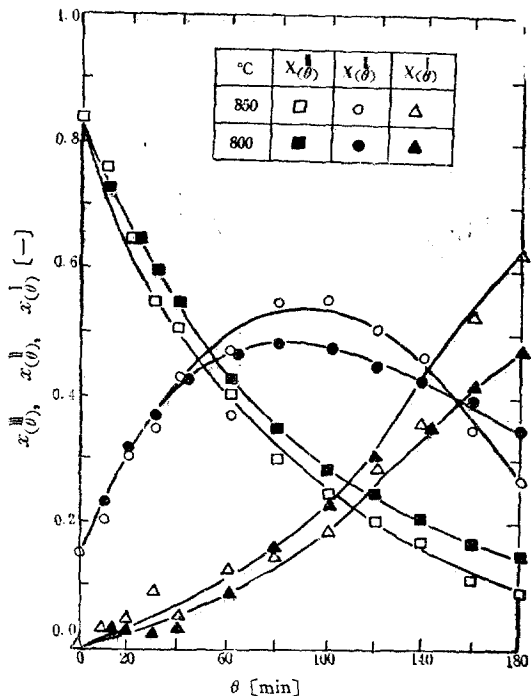
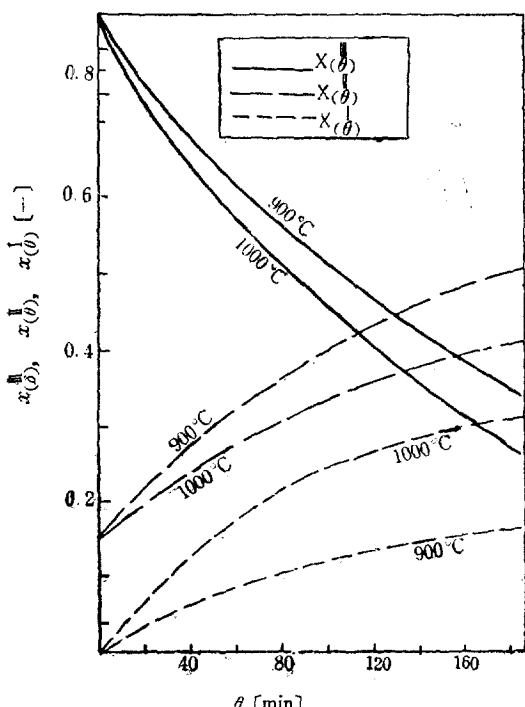


Fig. 10. Mole Fraction vs. θ for the Fluidized-Mixed Bed

Fig. 11. Mole Fraction vs θ for the Fluidized-Mixed BedFig. 12. Mole Fraction of Fe_2O_3 , FeO and Metallic Fe Calculated the Eq. (14)

團塊 현상이 일어나는 限界點(FeO 가 35% 以上 존재할 때 粘着이 일어남¹⁸⁾)을 넘고 있지만 이러한 현상이 볼 수 없었는데 鐵礫粒子 사이에 充填된 耐火벽들의 效果와 연소환원제인 無煙炭에 원인 있는 것으로 본다.

한편 反應器에 吸入시키는 CO gas 分壓과 轉化率과의 關係¹⁹⁾를 볼 때 1000°C에서 100分 동안에 90%의 轉化率을 올리는 데 $P_{CO}=0.8\text{ atm}$ 이상이어야 하는데 Gas化 실험結果¹¹⁾에 依하면 1000°C에서 發生되는 CO gas의 mole 分率은 보통은 0.2이며, 가장 理想的인 경우에 0.4임에 불구하고 粉粒體 混合流動層에 있어서 1000°C, 100分 때 90% 以上의 轉化率이 되는 것은 酸化鐵 자신이 CO gas에 依해서 환원되면서 동시에 Gas化反應의 촉진제로 작용하여 CO의 생성율을 높여 주었는지도 모르겠다. 이 點은 계속 밝히려 한다.

또한 入口 gas 속에는 Gas化反應을 위하여 多量의 酸素($N_2 : O_2 = 1 : 10$ 채적비)가 吸入되었음에도 불구하고 出口 gas 中 酸素의 mole 分率이 0.1이며 酸化鐵과 金屬鐵의 減增率이 間接還元時와 같은 경향을 나타내는 點으로 보아 粉粒體 混合流速層에 있어서는 酸化反應이 크게 일어나지 않는다고 볼 수 있다. 이 點에 대한 검토는 酸化反應을 고려해서 導出한 (13) 식과 함께 고찰에서 하겠다.

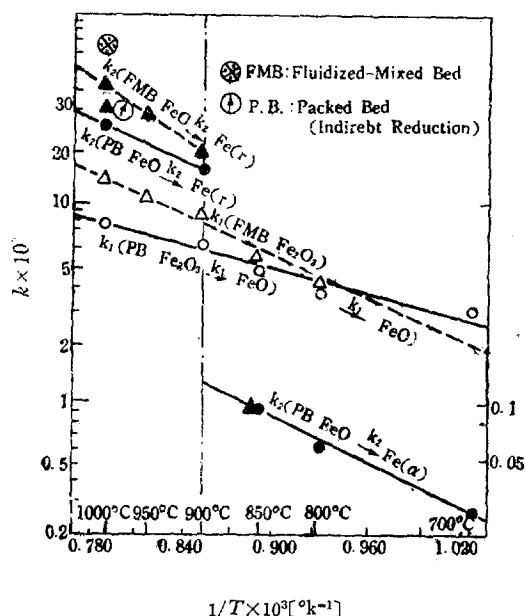


Fig. 13. Correlation Data between Rate Constant and Reaction Temperature

5. 考 察

1) 間接還元時 反應速度定數에 對하여

本研究에서는 CO gas에 依한 鐵鑄石의 還元과정을 (1), (2) 식에 表示한 바와 같이 두 단계로 나누었다.

이 두 反應의 正反應速度定數 k_1 , k_2 와 酸化反應速度定數 k'_1 , k'_2 를 table 1에 수록했으며, fig. 13에 $I_n k$ 對 $1/T$ 로 plot하였다. 이 結果에 依하면 900°C以上에서는 step 1 反應의 正反應速度定數 k_1 은 step 2 反應의 正反應速度 k_2 보다 적으나, 900°C以下에서는 그 逆이 된다. 즉 900°C以上에서는 step 1이 controlling-step이며 그 이하에서는 step 2가 controlling-step이다. 그런데 Nu-Iron Process 等 많은 海綿鐵 製造 process

Table 1. Rate Constants Measured or Calculated

Temp °C	Bed	Reduction		Oxidation		$K_1 = K_2 =$ k_1/k'_1	k_2/k'_2	Constant Reaction
		k_1	k_2	k'_1	k'_2			
1000	P B	0.007665	0.022500	0.001955	0.069231	3.921	0.325	
	FMB	0.013743	0.042000					
950	P B							
	FMB	0.011308	0.030000					
900	P B	0.006058	0.015000	0.001703	0.069231	3.558	0.371	
	FMB	0.009688	0.020000					
850	P B	0.004590	0.000091	0.001539	0.000226	2.981	0.398	
	FMB	0.005218	0.000900					
800	P B	0.003427	0.000055	0.001395	0.000113	2.450	0.485	
	FMB	0.004622						
700	P B	0.002985	0.000027	0.001898	0.000047	1.559	0.581	
	FMB							

P. B.: Indirect Reduction of Packed Bed

FMB: Fluidized-Mixed Bed

의 現場 Dnta^{13~15)}에 依하면 step 2가 controlling step 으로 되어 있는데, 그 操作溫度範圍가 500~870°C 이므로 900°C 以下의 本實驗結果와 一致된다. 그러나 900°C 以上에서의 兩反應의 速度定數의 比較에 대한 文獻은 찾을 수 없다. 이에 本研究에서는 이와 같은 現象이 基本적으로 金屬鐵의 特性에 依한 것으로 보아 이를 热力學的으로 검토했다. 즉 體心立方體인 α -Fe는 910°C에서 相變態를 하여 面心立方體인 γ -Fe로 되므로¹⁶⁾ 이 둘 點을 고려하여 Free energy 를 계산하고 이로부터 平衡定數를 求하였으나 본實驗結果와 만족스런 一致性은 없었다. 단지 910°C 이상에서 step 2 반응은 900°C 이전보다 빨라진다는 것을 Free energy 와 온도와의 관계인 Fig. 16에서 알 수 있다.

2) 固相反應에 對하여

實驗結果에서 固體炭素에 依한 鐵鑄石의 固相反應은

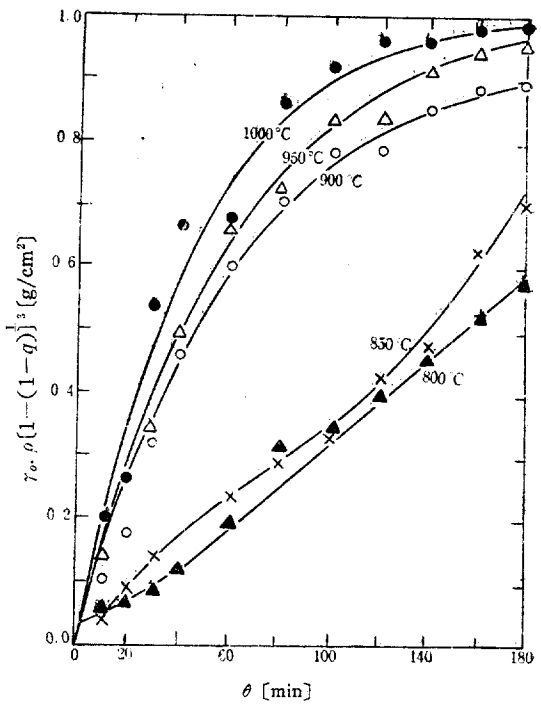


Fig. 14. $r_0 \rho [1 - (1 - q)^{1/3}]^3$ vs. θ

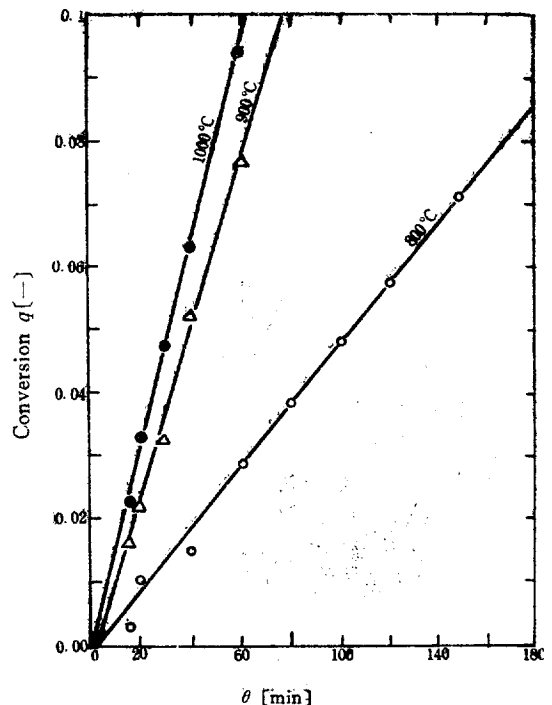


Fig. 15. Correlation Data between the Conversion and the Reaction Time for the Fluidized-Mixed Bed

Fig. 9의 800°C 경우와 같이 反應時間에 對해서 Fe_2O_3 나 FeO 와 같은 酸化鐵의 增減率이 直線關係를 가진다고 說明했는데, 이를 Mckewan¹⁷⁾의 결과와 比較한다. Mckewan은 還元反應은 酸化鐵과 환원계와의 界面에서 일어난다는 가정 하에 다음과 같은 식을 도출하였다. 즉

$$\gamma_{\text{so}}^{\theta} [1 - (1 - q)^{\frac{1}{3}}] = k' \theta \quad (15)$$

本實驗 Data 를 (15) 식에 대입하여 計算된 結果가 Fig. 14에 plot 되었는데, $\gamma_{\text{so}}^{\theta} [1 - (1 - q)^{\frac{1}{3}}] \theta$ 가 直線關係가 成立한다. 즉 이것은 固體탄소에 依한 鐵鑛石의 환원이 표면 化學反應으로 진행된다는 것을 말하며 또한 鐵鑛石 中의 酸化鐵의 增減率이 시간과 直線關係가 있는 것은 이 反應이 零次反應임을 말한다.

3) 粉粒體混合流動層에 대한 고찰

間接還元反應에서 900°C 以上에서는 step 1 reaction 이律速이고 900°C 以下에는 step 2 reaction 이律速이라는 것을 알았으며, 이를 열역학적 면에서 검토하였다. 이상의 Data로부터 粉粒體混合流動層에 있어서 鐵鑛石의 酸化還元과정을 檢討한다. 즉 鐵鑛石은 CO에 依해서는 還元反應만 일으키고 O_2 에 依해서는 酸化反應만 일으킨다고 가정해서 얻은 (14) 식에 각과정의 速度定數를 代入하여, Fe_2O_3 , FeO , Fe의 물분율 $x_{(\text{g})}$, $x_{(\text{p})}$, $x_{(\text{f})}$ 를 Fig. 15에 plot 하였다. Fig. 15를 Fig. 10, 11과 比較해 볼 때 $x_{(\text{g})}$, $x_{(\text{p})}$ 의 감소율이나 $x_{(\text{f})}$ 의 增加率이 Fig. 10, 11에 표시된 混合層實則值보다 작다. 이러한 사실은 粉粒體混合流動層에서의 鐵鑛石의 反應은 酸素에 依한 酸化反應은 거의 당하지 않고 CO gas에 依한 間接환원 反應이支配의이라는 것을 알 수 있다. 그러므로 還元速率式도 不可逆一次反應으로 展開된 (12) 식에 近似될 것이다. 이러한 點으로부터 $\ln x_{(\text{g})}$ 를 反應時間에 대하여 plot 한 結果 양자간에는 直線關係가 성립하여 氣固相反應이 동시에 일어나는 混合層에 있어서도 (12) 식을 적용할 수 있었다. $\ln x_{(\text{g})}$ 對 θ 의 slope에서 얻은 k_1 을 (12)의 $x_{(\text{g})}$ 에 代入하여 k_2 를 구했는데, 그 結果를 Table 1과 Fig. 13에 plot 하였다. 즉 混合層에서의 速度定數 k_1 , k_2 는 간접反應時보다 크다는 것을 알 수 있는데, 이와 같은 이유는 獨立의인 直接환원反應에보다 混合層에 있어서 直相反應의 역할이 增加되었다고 해석된다.

한편 해면철 제조 process를 실패로 이끈 단괴현상이 本研究에서는 일어나지 않았는데 그 이유는 充填된 내화벽돌편과 還元劑인 무연탄의 効果로 본다. 本研究中 이와 같은 粘着現象의 원인이 밝혀지게 된 것은 환원시료를 Fe_2O_3 , FeO , Fe 等增減曲線으로 정리한 데 있었다. 즉 대부분의 FeO 酸化反應과 900°C 이하의 流

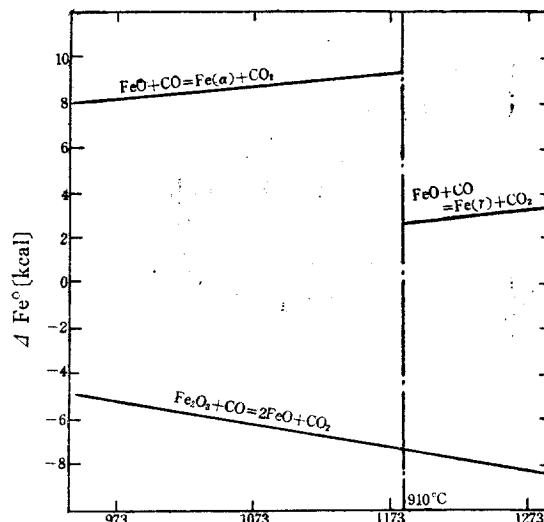


Fig. 16. Free Energy vs. Reaction Temperature

動層實驗中 단괴가 자주 일어났는데 이 괴를 분석한 결과 FeO 가 항상 40% 이상이었다는 點이다. 그러나 같은 size의 모태나 耐火벽돌片을 넣어 주므로써 이런 현상은 방지되었다.

이상과 같은 點을 종합적으로 검토할 때 粉粒混合流動層에 依한 鐵鑛石의 還元法은 實用性이 크다고 본다.

6. 結論

1) 鐵鑛石還元反應의 律速과정은 표면化學反應이다. 기체境膜이나 粒子內의 확산과정인자는 律速이 아니다.

2) 化學反應이 진행될 때 900°C 이상에서 $\text{Fe}_2\text{O}_3 \rightarrow \text{FeO}$ 로 되는 반응이 律速이었고 900°C 이하에서는 逆이 되는데, 이는 鐵의 상변태에 依한 결과이다.

3) 固相反應은 酸化鐵界面에서 일어난다.

4) 粉粒體混合流動層에 있어서支配의인 反應은 CO gas에 依한 間接反應이며 固體탄소에 의한 直接反應은 크지 않다. 또한 吸入된 酸素의 大部分은 Gas化反應에 참여하고 鐵鑛石을 酸化시키지 않는다. 즉 환원速度式은 (12) 식으로 표시된다.

5) 粘着은 FeO 의 存在效果이며 다른物質을 넣어 FeO 를 40% 以下로 감량하면 이러한 현상은 없어진다.

記號 說明

C: CO concentration of reacting gases [mole/cm³]

C_f : CO concentration of particle surface [""]

C_o : CO " of reacting interface [""]

C_o' : CO_2 " of reacting interface [""]

C^* : CO₂ Concentration of equilibrium state [n]
 D_m : Molecular diffusion Coefficient of CO₂ in the mixture gases [cm²·sec⁻¹]
 D_p : Diameter of Particle [cm]
 D_i : Diffusion coefficient of CO gas in iron ore [cm²·sec⁻¹]
 $k_1, k_2, \bar{k}_1, \bar{k}_2$: Rate constant [min⁻¹]
 k_T : Over-all rate constant [cm/sec]
 k_T' : Over-all rate constant [g·cm⁻² m¹m⁻¹]
 M_i : average molecular weight of mixture gases [g/mole]
 M_2 : Molecular weight of carbon dioxide [g/mole]
 P : Total pressure [atm]
 q : Conversion. [-]
 r : Radius of particle [cm]
 r_o : Radius of particle surface [cm]
 r_i : Radius of reacting interface [cm]
 U_{mf} : Minimum fluidization velocity [cm·sec⁻¹]
 U_o : Superficial gas velocity [cm·sec⁻¹]
 V_r : Volume of reaction bed [cm³]
 $x_{(i)}, x_{(j)}, x_{(s)}$: Mole fraction of Fe₂O₃, FeO, and metallic Fe [-]
 y_{CO}, y_{O_2} : Mole fraction of carbon monoxide and oxygen, respectively. [-]
 ϵ : Void fraction of the bed. [-]
 ϵ_r : Porosity of reduction layer. [-]
 ϵ_p : Porosity of iron ore [-]
 ϕ : Shape factor (surface area of iron ore/volume of bed) [cm²/cm³]
 ρ : Density of iron ore [g/cm³]

ξ : Labyrinth factor [-]

参考文献

1. 南宮寔; Japanese patent No. 39—1570.
2. Bankloch, W and R. Durrer; *Archiv. f das Eisenhüff* 4 455 (1931)
3. Meyer, H. H.; *Mit. aus dem K. W. I. fur das Eisen*. 12 1 (1930)
4. Kawasaki, E. and et al; *J. of A I ch E* 8 48 (1962)
5. Bogdandy, L. V and et at; *Z. f electrochem.* 61 1146 (1957)
6. Feinman, J. and et al; *J of A, I, Ch, E*, 7 584 (1961)
7. 南宮寔·柳慶玉; *화학공학* 4 187 (1966)
8. Bird, R. B. W. E. Stewart and EN Lightfoot; *Transfort Phenomena* (Willy company 1961) p. 17.
9. Andrussov, k.; *化學工學* 28 490 (1964)
10. Moriyama, A.; *金屬學會誌* 29 528 (1965)
11. 南宮寔·柳慶玉; *화학공학* 6 81 (1968)
12. 林鎮男·柳慶玉; 69년추계연구발표회발표(1969.11)
13. 和田·兒玉重見; *鐵と鋼* No. 11 (1961)
14. 伊勢田·荒川; *鐵と鋼* No. 6 (1963)
15. 遠藤·松下; *鐵と鋼* No. 6 (1962)
16. 日本鐵鋼協會; *鐵鋼便覽*(1963丸善社發行) p. 77
17. Mckewan, W. M.; *Trans of AIME* 212 791 (1958)
18. 柳慶玉; 大學院論文集(漢陽大, 1970)